

文章编号: 1672-8785(2010)09-0009-05

# 磁控溅射工艺对 $\text{VO}_x$ 薄膜结构和性能的影响

聂竹华<sup>1</sup> 李合琴<sup>1</sup> 储汉奇<sup>1</sup> 都智<sup>1</sup> 宋泽润<sup>2</sup>

(1. 合肥工业大学材料科学与工程学院, 安徽合肥 230009;

2. 中国电子科技集团公司 43 研究所, 安徽合肥 230022)

**摘要:** 以高纯氧和高纯氩为气源, 通过改变薄膜的制备工艺, 用直流磁控溅射法在玻璃和单晶硅片上制备了  $\text{VO}_x$  薄膜, 并对其进行了退火处理。借助 LCR 测试仪和 X 射线衍射仪, 对  $\text{VO}_x$  薄膜的电阻温度系数、晶体结构进行了检测。结果表明, 当溅射气压为 1.5Pa, 功率为 100W, 时间为 1h, 氧氩比为 0.8:25 时, 经 450 ℃退火后, 玻璃基片上制备的薄膜的电阻温度系数 (TCR) 超过  $-0.02/^\circ\text{C}$ , 其结构和性能最好。同时对比了玻璃和单晶硅基片对  $\text{VO}_x$  薄膜的生长、性能和结构的影响。当氧氩比为 0.8:25 时, 单晶硅片上制得的  $\text{VO}_x$  薄膜的质量和性能最好。

**关键词:** 直流磁控溅射; 退火;  $\text{VO}_x$  薄膜; 工艺; 电阻温度系数

**中图分类号:** TB43    **文献标识码:** A    **DOI:** 10.3969/j.issn.1672-8785.2010.09.003

## Influence of Magnetron Sputtering Process on Properties and Structures of $\text{VO}_x$ Thin Films

NIE Zhu-hua<sup>1</sup>, LI He-qin<sup>1</sup>, CHU Han-qi<sup>1</sup>, DU Zhi<sup>1</sup>, SONG Ze-run<sup>2</sup>

(1. School of Materials Science and Engineering, Hefei University of Technology, Hefei 230009, China;

2. No.43 Research Institute, China Electronics Technology Group Corporation, Hefei 230022, China)

**Abstract:** Through the modification of film fabrication processes, vanadiaum oxide ( $\text{VO}_x$ ) films were fabricated on glass and monocrystal silicon substrates by using a DC magnetron sputtering equipment with high-purity oxygen and arg. Then, the  $\text{VO}_x$  films were annealed and their structures and electric properties were detected by using a LCR meter and a X-ray diffraction instrument. The results showed that the TCR of the  $\text{VO}_x$  film on the glass substrate exceeded  $-0.02/^\circ\text{C}$  when the gas pressure of 1.5Pa, the power of 100W, the sputtering time of 1 hour and the ratio of oxygen to argon of 0.8:25 were used after they were annealed at 450 ℃. By comparing the  $\text{VO}_x$  film on the glass substrate with that on the monocrystal substrate, it was found that the  $\text{VO}_x$  film on the monocrystal substrate had better quality and properties.

**Key words:** DC magnetron sputtering; annealing;  $\text{VO}_x$  thin films; process; TCR

## 1 引言

氧化钒 ( $\text{VO}_x$ ) 具有独特的物理和化学性能, 其中的  $\text{VO}_2$  可被用作热敏材料。 $\text{VO}_2$  在 68 ℃<sup>[1]</sup> 左右时会发生一级相变<sup>[2]</sup>; 当温度高于 68 ℃

时,  $\text{VO}_2$  具有四方金红石结构, 其空间群为 P42/mnm; 当温度低于 68 ℃时,  $\text{VO}_2$  则具有单斜结构, 其空间群为 P21/c。在相变过程中,  $\text{VO}_2$  的电学、磁学和光学性能都发生了可逆突变。其中, 电阻率的变化幅值可以达到  $10^4$  量级<sup>[3]</sup>。

**收稿日期:** 2010-05-04

**基金项目:** 国家“973”项目 (2008CB717802); 安徽省自然科学基金 (090414182); 安徽省高校自然科学基金 (KJ2009A091)

**作者简介:** 聂竹华 (1985-), 男, 安徽安庆人, 硕士研究生, 主要从事功能薄膜材料研究。E-mail: haonzh@163.com

$\text{VO}_2$  的相变特性和优良的热敏电阻特性, 使其可用于制备红外探测热敏材料、非致冷微测辐射热计<sup>[4]</sup>、智能窗玻璃<sup>[5]</sup>、光电开关、温度传感器、光存储<sup>[6,7]</sup>器件等。与体材料相比,  $\text{VO}_2$  薄膜具有体积小、重量轻、工艺兼容、造价低廉、可经受反复相变等优点。 $\text{VO}_2$  薄膜的制备方法有很多, 主要包括 Sol-Gel 法<sup>[8]</sup>、蒸发法<sup>[9]</sup>、脉冲激光沉积 (PLD)<sup>[10]</sup>、溅射法、化学气相沉积 (CVD) 等。通常,  $\text{VO}_2$  薄膜的室温电阻温度系数为  $-0.02/^\circ\text{C}$  左右。本文采用直流反应磁控溅射法制备了  $\text{VO}_x$  薄膜, 研究了氧氩比及衬底材料的变化与薄膜成分、结构、电阻温度系数之间的关系。

## 2 试验

试验采用 FJL560B1 型超高真空磁控与离子束联合溅射设备, 基片为载玻片和单晶硅片, 靶材为 99.99% 纯度的金属钒, 所用气体  $\text{O}_2$  和 Ar 的纯度均高于 99.99%。沉积薄膜前, 将基片依次放入丙酮、酒精和去离子水中超声清洗 15min。本底真空为  $9.9 \times 10^{-5}\text{Pa}$ 。溅射镀膜前, 先通入一定量的 Ar 对靶面进行预溅射清洗。本文中所有的  $\text{VO}_x$  薄膜制备均采用直流电源, 溅射气压为 1.5Pa, 氧气和氩气的流量单位为 sccm(标准状态毫升/分), 溅射功率为 100W, 溅射时间为 1h, 薄膜沉积后均在  $450^\circ\text{C}$  下于 Ar 气中退火 2h, 并通过改变氧气流量和基片种类研究出了最佳制备工艺。我们利用 LCR 测试仪及 D/Max- $\gamma\text{B}$  型 X 射线衍射仪对薄膜样品进行了变温电阻测试和结构分析, 并根据公式:

$$TCR = \frac{R_2 - R_1}{R_1(T_2 - T_1)} \quad (1)$$

计算了薄膜的平均电阻温度系数。式中, TCR 为温度  $T_1$  时的电阻温度系数,  $R_1$  和  $R_2$  分别为温度  $T_1$  和  $T_2$  时的电阻值。平均电阻温度系数是指在一定温度范围内, 温度改变  $1^\circ\text{C}$  时, 电阻

值的平均相对变化量<sup>[11]</sup>。

表 1 列出了制备样品的工艺参数。

## 3 实验结果与分析

在加热过程中,  $\text{VO}_2$  的结构由单斜半导体相转变为四方金属相。其中, 钒原子的 d 层电子为所有的金属原子共有, 呈现金属特性, 导致  $\text{VO}_2$  的电阻值迅速下降。但由于钒的氧化物众多, 生成单一的  $\text{VO}_2$  相比较困难, 这就需要调节混合气体中氧气的相对量。当氧气含量较低时, 氧原子的匮乏致使钒无法被完全氧化成  $\text{VO}_2$ 。此时, 低价钒必然存在,  $\text{VO}_2$  的含量低将会导致电阻的突变不明显或者根本不发生突变。当氧含量太高时, 钒则会因过分氧化而产生高价钒氧化物。此时如果  $\text{VO}_2$  的含量低, 同样也无法体现其电学特性。只有在氧含量适中的情况下才能生成更多的  $\text{VO}_2$  相。因此, 氧含量的多少对实验至关重要。

### 3.1 薄膜的电阻特性

图 1 为样品 1、2、3、4 的电阻 – 温度曲线, 表 2 给出了通过计算后得到的各个样品在室温 ( $25^\circ\text{C}$ ) 时以及升温过程中最大的 TCR 值。从中可以看出, 样品 1 的电阻没有出现明显的突变, 变化范围小。薄膜在进行沉积和后续的退火处理后并没有呈现很好的电学性能, 室温 TCR 值很小,  $\text{VO}_2$  的电阻变化不能对整个薄膜的电阻变化起主导作用。样品 2 在升温时的电阻从  $21\text{k}\Omega$  降低到  $0.29\text{k}\Omega$ , 变化量几乎达到了两个数量级, 且在  $63^\circ\text{C}$  左右时电阻突降。这体现了  $\text{VO}_2$  的电学特性, 表明样品 2 中的  $\text{VO}_2$  发生了半导体 – 金属相变。样品 3 在被加热时的电阻从  $61\text{k}\Omega$  变化到  $0.38\text{k}\Omega$ , 变化范围超过两个数量级, 突变温度在  $67^\circ\text{C}$  附近。样品 4 在被加热到  $65^\circ\text{C}$  左右时有突变的趋势。但从图中可以看出, 电阻变化并不是很明显, TCR 值也较小。

表 1 制备样品的工艺参数

序号	1	2	3	4	5	6
基片	玻璃	玻璃	玻璃	玻璃	硅 (100)	硅 (100)
氧氩比	0.4:25	0.6:25	0.8:25	1.0:25	0.6:25	0.8:25

比较样品 2 与样品 3, 样品 2 的室温 TCR 值为  $-0.0200/^\circ\text{C}$ , 最大 TCR 值出现在  $62.5^\circ\text{C}$ ; 而样品 3 的室温 TCR 值为  $-0.0251/^\circ\text{C}$ , 最大 TCR 值出现在  $66.5^\circ\text{C}$ , 即薄膜的相变点。因此样品 3 比样品 2 更接近理论相变温度, 且其电阻随温度变化得最快。初步断定, 样品 3 的制备工艺较好。

### 3.2 薄膜的 XRD 结果

图 2 为 4 个样品的 XRD 图。图中  $15^\circ$  到  $40^\circ$  之间有一个向上突起的宽峰, 为玻璃衬底峰。样品 1 的  $\text{VO}_2$  特征峰较强, 但氧含量的短缺导致金属钒没能完全氧化生成  $\text{VO}_2$  相, 从而出现了低价钒氧化物  $\text{V}_5\text{O}_9$ ; 样品 2 的衍射峰较多, 虽然强度较大的几个衍射峰均为  $\text{VO}_2$ , 但仍有较多的低价钒氧化物, 这也是由氧含量不足引起的; 样品 3 中强度较明显的峰位处全部是  $\text{VO}_2$  的衍射峰, 说明样品 3 中的  $\text{VO}_2$  含量高于前两个样品且其结晶状态较好; 样品 4 中也含有  $\text{VO}_2$

相, 但存在钒的高价态氧化物, 如  $\text{V}_2\text{O}_5$ 、 $\text{V}_6\text{O}_{13}$  等, 说明氧氩比为  $1.0:25$  的氧含量参数略微偏高于理想的参数值。通过上述分析可以看出, 样品 3 的  $\text{VO}_2$  结晶效果最佳,  $\text{VO}_2$  含量最高, 这也是样品 3 在电阻温度系数方面优于其他样品的主要原因。

### 3.3 基底对薄膜沉积的影响

衬底的选择可直接影响薄膜的结晶取向、微观结构以及各项特性。实验中, 我们将样品 2 和 3 的工艺在单晶硅片 (100) 上重复一次, 得到了样品 5 和 6。通过电阻特性分析、XRD 衍射实验和数据对比, 研究了载玻片和单晶硅片衬底对  $\text{VO}_x$  薄膜结晶的影响。

图 3 是样品 5 和 6 的电阻 - 温度特性曲线。样品 5 在升温时的电阻从  $133\text{k}\Omega$  降低到  $0.57\text{k}\Omega$ , 突变温度在  $69^\circ\text{C}$  左右, 室温 TCR 值为  $-0.0207/^\circ\text{C}$ , 最大 TCR 值 ( $-2.57/^\circ\text{C}$ ) 出现在  $71^\circ\text{C}$  处; 样

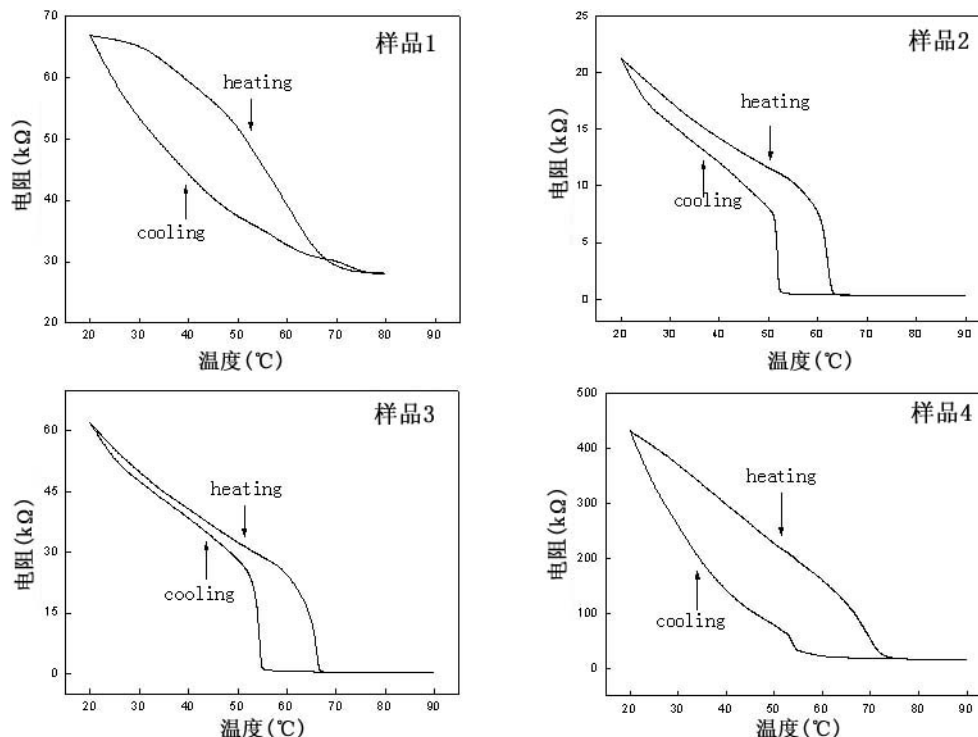
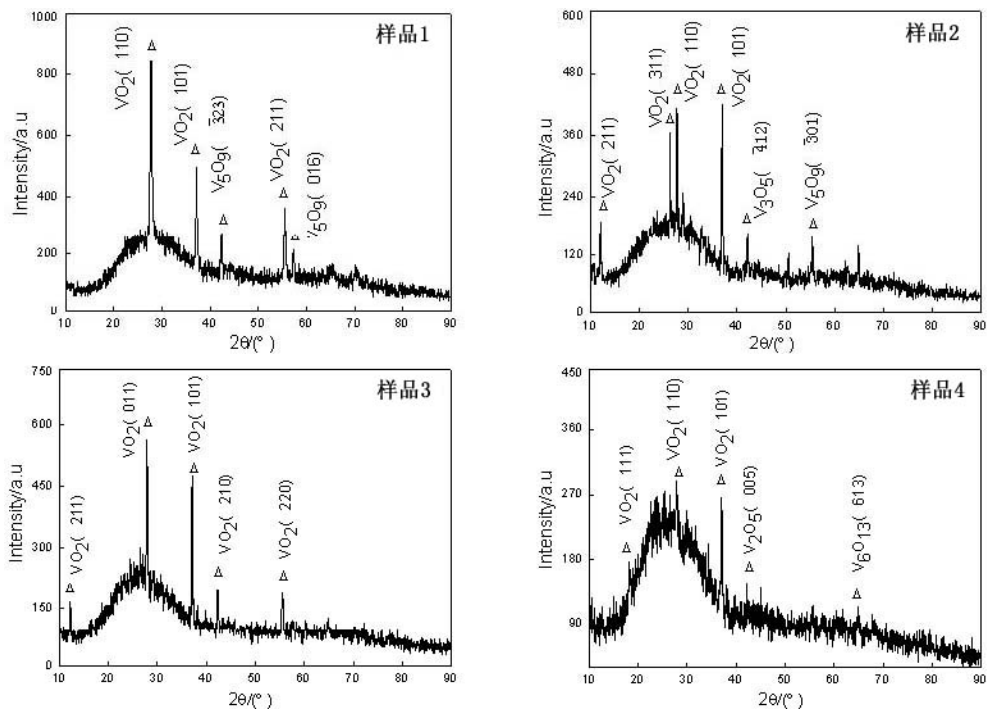


图 1 不同氧氩比时  $\text{VO}_x$  薄膜的电阻 - 温度曲线

表 2 不同样品的 TCR 值

样品序号	1	2	3	4	5	6
室温 TCR (/ $^\circ\text{C}$ )	-0.00204	-0.0201	-0.0251	-0.0137	-0.0207	-0.0311
最大 TCR(/ $^\circ\text{C}$ ) 及温度	-0.0339(60 $^\circ\text{C}$ )	-1.83(62.5 $^\circ\text{C}$ )	-1.78(66.5 $^\circ\text{C}$ )	-0.347(71 $^\circ\text{C}$ )	-2.57(71 $^\circ\text{C}$ )	-1.71(69 $^\circ\text{C}$ )

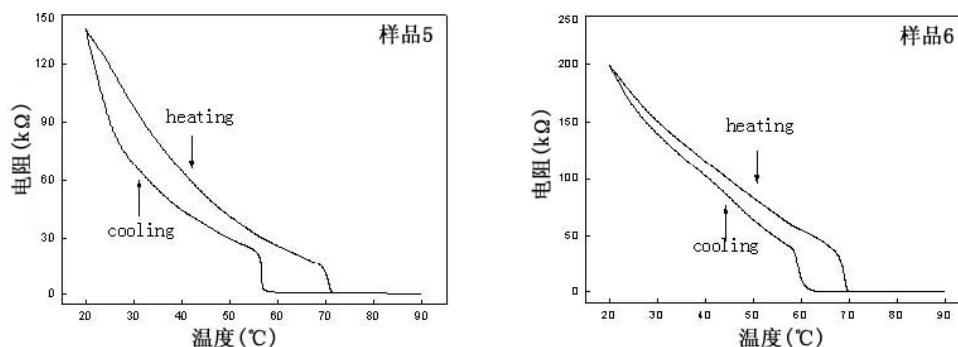
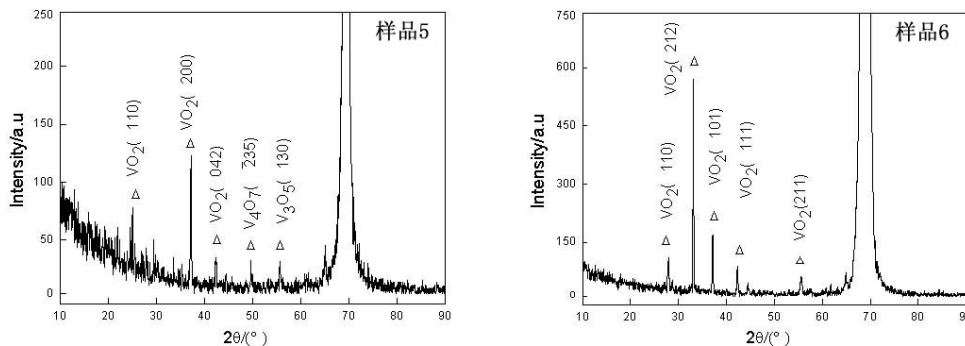
图2 不同氧氩比时  $\text{VO}_x$  薄膜的 XRD 图

品 6 的电阻则从  $198\text{k}\Omega$  降低到  $0.19\text{k}\Omega$ ，变化量达到三个数量级，相变温度在  $68^\circ\text{C}$  左右，室温 TCR 值为  $-0.0311/\text{℃}$ ，最大 TCR 值为  $-1.71/\text{℃}$ （温度为  $69^\circ\text{C}$ ）。将样品 2 与样品 5、样品 3 与样品 6 的电阻变化范围、相变温度及室温 TCR 进行对比后发现，在单晶硅片上制备的  $\text{VO}_x$  薄膜的常温电阻和 TCR 值要大于玻璃衬底上制备的薄膜，在升温过程中电阻值的变化范围远大于以玻璃为衬底的  $\text{VO}_x$  薄膜；在相变温度上，以硅片为衬底的  $\text{VO}_x$  薄膜比以玻璃为衬底的更接近  $\text{VO}_2$  单相的理论相变温度。

图 4 为样品 5 和 6 的 XRD 衍射图样。图中  $70^\circ$  左右处一个强度很高的峰为单晶硅片 (100) 晶面的衍射峰。样品 2 在  $26.36^\circ$ 、 $27.74^\circ$ 、 $37.00^\circ$  处的衍射峰较强，此三处衍射峰的半高宽分别为  $0.504^\circ$ 、 $0.375^\circ$  和  $0.297^\circ$ ；样品 5 在  $25.10^\circ$ 、 $37.22^\circ$ 、 $42.46^\circ$  处的衍射峰的半高宽分别为  $0.161^\circ$ 、 $0.199^\circ$  和  $0.308^\circ$ ；样品 2 和 5 中都含有钒的低价氧化物，但样品 5 的  $\text{VO}_2$  衍射峰的半高宽均比样品 2 的窄。在 XRD 中，衍射峰的半高宽是检验物质结晶状态的参量之一。半高宽越小，结晶状态就越理想，所以样品 5 的沉积质量优于样品 2。样品 3 在  $27.84^\circ$ 、 $37.10^\circ$ 、 $42.46^\circ$

处的衍射峰的半高宽分别是  $0.408^\circ$ 、 $0.409^\circ$  和  $0.295^\circ$ ；样品 6 在  $27.90^\circ$ 、 $33.08^\circ$  和  $37.14^\circ$  处的半高宽分别是  $0.209^\circ$ 、 $0.149^\circ$  和  $0.237^\circ$ 。样品 3 和样品 6 的衍射图表明，其钒成分中的其他价态氧化物很少， $\text{VO}_2$  的含量较高。与样品 2 和样品 5 的比较结果相似，在硅片上制备的  $\text{VO}_2$  的半峰宽比在玻璃上制备的  $\text{VO}_2$  的小。通过上述两组数据的比较可以看到，在单晶硅片上制备的  $\text{VO}_x$  薄膜优于在普通玻璃上制备的薄膜，其原因主要是单晶硅片表面光滑且表面原子排列一致，这就为  $\text{VO}_x$  的形核提供了较好的基础。均匀的形核有利于晶粒长大和提高结晶效果，可让晶粒间的空隙减小，从而使薄膜变得更加致密完整。

电阻 – 温度变化曲线和 TCR 以及具体结构测试结果表明，在单晶硅片上沉积制备的  $\text{VO}_x$  薄膜的结晶状况、杂质含量以及缺陷等都比在玻璃片上制备的  $\text{VO}_x$  的好。同样在单晶硅衬底上，样品 6 的最大 TCR 点的温度较样品 5 的更接近  $\text{VO}_2$  单相的理论相变温度，故样品 6 的  $\text{VO}_2$  纯度最高，结晶好，这也表明了该样品制备工艺的优越性。

图 3 不同基底的  $\text{VO}_x$  薄膜的电阻 - 温度曲线图 4 不同衬底的  $\text{VO}_x$  薄膜的 XRD 图

## 4 结论

通过实验获得了制备  $\text{VO}_2$  薄膜的最优工艺参数。结果显示, 当氧氩比为 0.8:25 时, 在玻璃和单晶硅片上均能制得结构和性能较佳的  $\text{VO}_x$  薄膜, 其电阻变化范围宽, 突变效果明显, 相变温度接近理论温度, TCR 值均超过  $-0.02/^\circ\text{C}$ ,  $\text{VO}_2$  相的结晶质量和纯度也最好。衬底对薄膜沉积质量的影响较大, 单晶硅片更有利于  $\text{VO}_x$  薄膜的结晶生长。当氧氩比为 0.8:25, 溅射气压为 1.5Pa、功率为 100W、时间为 1h 时, 经 450 °C 退火后, 在硅片上生长的  $\text{VO}_x$  薄膜的室温 TCR 值达到了  $-0.0311/^\circ\text{C}$ , 其电学性能和成分结构均优于在玻璃基片上生长的  $\text{VO}_x$  薄膜。

## 参考文献

- [1] Morin F J. Oxide which show a meter-to-insulator transition at the neel temperature [J]. *Phys. Rev. Lett.*, 1959, **3**(1): 34–36.
- [2] Hubert J, Francis P, Danis V. Vanadium oxide film for optical switching and detection [J]. *Opt. Eng.*, 1993, **32**(9): 2092–2099.
- [3] Beteille F, Mazerolles L, Livage J. Microstructure and metal-insulating transition of  $\text{VO}_2$  thin films [J]. *Mate Res Bull*, 1999, **34**(14): 2177–2184.
- [4] Hongchen Wang, Xinjian Yi, Sihai Chen. Low temperature fabrication of vanadium oxide films for uncooled bolometric detectors [J]. *Infrared Physics & Technology*, 2006, **47**(3): 273–277.
- [5] Gang Xu, Ping Jin, Masato Tazawa, et al. Optimization of antireflection coating for  $\text{VO}_2$ -based energy efficient window [J]. *Solar Energy Materials & Solar Cells*, 2004, **83**(1): 29–37.
- [6] Xu S Q, Ma H P, Dai S X, et al. Switching properties and phase transition mechanism of  $\text{Mo}^{6+}$  doped vanadium dioxide thin film [J]. *Chinese Phys. Lett.*, 2003, **20**(1): 148.
- [7] 方应翠, 陈长琦, 朱武, 等. 二氧化钒薄膜在智能窗方面的应用 [J]. *真空*, 2003, **40**(2): 16–19.
- [8] 尹大川, 许念坎, 刘正堂, 等.  $\text{VO}_2$  薄膜的主要制备工艺参数研究 [J]. *功能材料*, 1997, **28**(1): 53–56.
- [9] Jiang S J, Ye C B, Khan M S. Evolution of thermochromism during oxidation of evaporated vanadium films [J]. *Appl. Opt.*, 1991, **30**(7): 847–851.
- [10] Narayandass S K, et al. Study of a pulsed laser deposited vanadium oxide based microbolometer array [J]. *Smart Materials and Structures*, 2003, **12**(2): 188.
- [11] 包兴, 胡明. *电子器件导论* [M]. 北京: 北京理工大学出版社, 2001: 67–73.